

## 알루미나 소결체와 금속간의 접합에 관한 연구

김 종 희 · 김 형 준

한국과학원, 재료공학과  
(1978년 4월 7일 접수)

## The Study of Alumina Ceramic to Metal Bonding

Chong-Hee Kim, Hyeong-Joon Kim  
Dept. of Materials Science, KAIS  
(Received April 7, 1978)

### ABSTRACT

The basic mechanism of adherence in sintered high purity alumina ceramic-to-metal bonding was studied. Emphasis was placed on flux composition, porosity of the fired ceramics, and metallizing mixtures.

The study was conducted on 95 and 99.5% alumina, using molybdenum-manganese, molybdenum-manganese dioxide and molybdenum-manganese-silicon dioxide metallizing compositions. Metallizing was performed in wet hydrogen (dew point, +17°C) at 1450°C for 45 min.

This experiment indicated that adherence mechanism of ultra high purity alumina ceramic was attributed to formation of MnAl<sub>2</sub>O<sub>4</sub>, and in the case of 95% alumina containing glass, the migration of glass from the interface into the void of the metal coating was the main role to the adhesion. It showed also that greater the bond-strength was resulted as porosity was increased.

### I. 서 론

내열재료는 절연성, 유결특성, 경도 및 강도등이 우수함으로, 과학 기술의 발전과 더불어 공업재료로써 많은 각광을 받고 있다. 그러나 대부분의 구조물들이 금속으로 이루어져 있어서, 금속과 내열재료(ceramics)를 접합시키는 시도는 오래전부터 연구되어져 왔다. 전공판의 개발과 함께 발전되어온 금속과 내열재료의 접합은 인공위성, 우주경거장 개발에 있어서 금속 구조물과 내열재료를 연결시키는 데 중요한 부분이 되고 있다<sup>1)</sup>.

그리고 핵에너지와 태양에너지의 전기에너지로 바꾸는 연구 및 개발에 많이 이용되어 질 것으로 믿어진다.

과거에는 내열재료와 금속과의 접합은 주로 유리질을 이용한 물리적 접합에 의해서 이루어졌다. 현재에도 유리질을 이용한 접합은 여러방면에서 이용 되어지고 있다. 그러나 구조물이 고온에서 사용 되거나, 전기적으로 고주파에서 사용될 때는 높은 연화점을 가지

고 있고 알칼리 성분을 포함하고 있지 않는 접합재료가 좋은 효과를 나타내게 된다. 주로 이용하는 내열재료로써는 forsterite(2MgO·SiO<sub>2</sub>), steatite(MgO·SiO<sub>2</sub>) zircon-talc, beryllia(BeO) 및 alumina(Al<sub>2</sub>O<sub>3</sub>) 등이 있다<sup>2~4)</sup>.

접합을 만드는 일반적인 방법은 내열재료 표면에 얇은 층의 molybdenum과 내열재료 사이에 접합을 만들게 하고(metallizing) 여기에 구리와 같은 금속을 용융접착(brazing)시킨다. 용융접착이 잘 되도록 nickel의 얇은 막을 molybdenum 막 위에 피막시키는 수도 있다. 내열재료는 주로 산화물로 이루어져 있어 큰 음전하(negative charge)를 띤 산소원자를 포함하고 있다. 이 산소원자는 금속의 전자운(electron cloud)과 반발력을 가지기 때문에, 직접 금속을 산화물 내열재료위에 접합시킬 수 없고 metallizing 과정을 거쳐서 금속을 접합하여야 한다<sup>5)</sup>.

metallizing에 사용되는 금속은 원자크기, 화학적 성질, 특히 열팽창율이 내열재료와 대등하여야 한다.

이런 금속들은 쉽게 산화되어 내열재로인 산화물과 잘 결합 될 수 있다. 이와같은 금속으로는 활성 금속인 Ti, Zr과 철이 금속 중에서 Fe, Co, Ni, Cr, Mo, Mn 등이 유용하다. 그중 metallizing에는 주로 활성 금속과 Mo, Mn 등이 많이 사용되고 있다<sup>5)</sup>.

고온에서 내열재로를 metallizing하는 과정은 2차 세계대전 중 친공관에 steatite 재료를 사용하면서 개발되었다<sup>6)</sup>. molybdenum 분말에 소량의 manganese나 manganese dioxide를 첨가하여 접합강도를 더 증가시키는 방법을 “the moly-manganese process”라고 한다<sup>3)</sup>. 전자산열이 더욱 발달되어짐에 따라 steatite재료는 기계적, 전기적 성질이 더 좋은 alumina 재료로 대체되어졌다. 그러나 alumina에 금속을 접합시키는 데는 상당한 어려움이 있어서 방법들이 개선 되어지거나 새로운 방법을 모색하게 되었다. 현재 주로 사용되는 방법들은 molybdenum, tungsten 등의 heavy metal을 사용한 방법과 이 방법을 약간 보충한 “the moly-manganese process”와 활성 금속의 hydride를 이용하는 “active metal process”가 있다.

본 연구에서는 “the moly-manganese process”를 이용하여 alumina 소결체에 metallizing한 후, 금속 구리를 용융 접착시키는 실험을 하였으며, metallizing 혼합물의 조성과 소지내열재로의 순도 및 기공도가 접합강도에 미치는 영향을 조사 연구하였으며, 접합기구에 대하여도 검토하여 보았다.

## II. 재료준비 및 실험방법

### 1. 재료준비

#### 1.1. 고순도 alumina 소결체의 제조

본 실험에서 필요한 알루미나 소결체는 미국의 여러 회사에서 제조한 미세한 알루미나 분말을 가압 성형한 후, 고밀도의 알루미나 소결체를 만들었다. 그리고 첨가물(flux)의 영향을 검토하기 위하여 Union Carbide 회사에서 나온 알루미나 분말에 고순도의 SiO<sub>2</sub>와 MgO를 혼합하여 알루미나의 순도가 95% 소결체를 만들었다. 본 연구에서 사용한 알루미나 분말과 첨가물에 대한 자료를 Table 1에 수록하였다.

소결한 알루미나 시편에 대해서는 편의상 임의로 기호로써 구별하였고 이를 시편에 대한 조성비 및 결합재를 Table 2에 수록하였다.

alumina 소결체를 얻기 위하여 먼저 alumina 분말에 2.5~5% 정도의 acryloid 결합제를 첨가한 후 파인의 acetone을 넣어 반죽상태(slurry)로 만든 다음 크기가 75φ×90mm인 alumina ball mill(일본화학도업사 제품)

Table 1. The Specification of Alumina Powder and Other Additives Used for Experiments

	Alumina 1	Alumina 2	Alumina 3	SiO <sub>2</sub>	MgO
Manufacturer	Reynold Metal Co.	ALCOA Chemical Division	Union Carbide	Kanto Chemical Co.	Mallinckrodt Co.
Grade	RC-172 DEM	Reactive alumina A-17	Linde type CCA	reagent grade 1	reagent grade 1
Purity	99.7%	99.5%	—	—	99%
Particle size (μ)	0.65	3.5	0.3	—	—

Table 2. The Composition of Sintered Alumina Ceramic Bodies\*

	R99	A99	L96	L95MS	L95S
Alumina powder	Alumina 1	Alumina 2	Alumina 3	Alumina 2	Alumina 2
Composition	100% Alumina	100% Alumina	100% Alumina	95% Alumina 3% SiO <sub>2</sub> 2% MgO	95% Alumina 5% SiO <sub>2</sub>
Binder	Acryloid 2.5%	Acryloid 2.5%	Acryloid 5%	Acryloid 5%	Acryloid 5%

\*R : Reynold Metal Co.

A : Alcoa

L : Linde

M : MgO

S : SiO<sub>2</sub>

과 10mmφ인 alumina ball을 사용하여 6시간동안 60r.p.m.으로 ball mixing하였다. Ball의 양은 alumina 분말의 양과 무게비로 20:1이 되게 하였으며 부피적으로는 ball mill 부피의 반이 되도록 하여 쳐적의 혼합이 이루어 지도록 시도하였다. 잘 혼합된 alumina 분말을 ball mill로 부터 베이커에 옮겨 담고 teflon rod로 계속 저으면서 acetone을 증발시켰다. 약간 축축한 상태의 alumina 분말을 -15~+50mesh의 크기가 되도록 sieve로 조립화(granulation) 시킨 다음, 지게접시에 담아서 130°C에서 30분간 유지시킴으로써 acetone을 완전히 증발시켰다.

조립화된 alumina 분말을 2~3g 정도의 양으로 안지름이 17.5mm인 가압금형 속에서 1800kg/cm<sup>2</sup>의 압력으로 가압성형 하였다. 성형되어 나온 성형체의 소결 전 밀도(소지밀도 : green density)를 알기 위해 두께와 지름을 채고 화학지울로 무게를 측정하여 소지밀도를

구하였다.

가압성형된 모든 시편은 alumina 접시위에 얹어서 관상로에 친입시킨 후  $150^{\circ}\text{C}/\text{hr}$  의 속도로 가열하여  $1510^{\circ}\text{C}$ 에서 2시간 동안 소결시켰다.

이렇게 해서 얻은 소결체는 크기를 측정하여 소결 후의 수축율을 측정하였으며 밀도와 기공율은 ASTM(Designation : C20-74)에서 정한 방법에 준해서 계산하였다.

alumina 소결체의 표면 상태가 metallizing에 많은 영향을 미치지 되므로 표면을 깨끗이 처리하는 것이 필요하다. 이를 위해 수지에  $30\mu\text{m}$ 의 diamond 분말을 부착시킨 연마판에 alumina 소결체의 표면을 연마한 후 물로 씻고 acetone으로 물기를 제거한 다음, 시약용의 농질산  $100\text{ml}$  정도가 든 비아이커 속에서 30분간 끓인 후 증류수로 세척하고 10분간 끓임으로써 산을 완전히 제거시켰다. 시편을 비아이커에서 꺼내어 methanol로 물기를 없엔 후 기포등에 들어 있는 수분을 완전히 제거하기 위해 전조기로 말리고 다시 약  $1000^{\circ}\text{C}$ 에서 10분간 가열하였다<sup>1)</sup>.

## 1.2 접합 시편 및 용접 재료

접합시키는 금속으로는 열팽창율이 내열재료와 비슷한 kovar가 주로 사용되고 있으나 본 연구에서는 가공성이 좋은 구리를 사용하였다. 시중에서 구입한 고순도의 봉상형 구리를 Fig. 1의 그림과 같은 모양으로 가공하여 사용했으며 접합될 부분을  $1\mu\text{m}$ 의 alumina 분말로 연다한 후 trichloethylene ( $\text{C}_2\text{HCl}_3$ ) 용액속에 넣고 초음파 세척기에서 세척한 다음, 뜨거운 물에 잠시 담그었기 때문에 증류수로 씻고 다시 methanol을 적셔 풍기증에 말린 다음 예시케이터 안에서 보관했다<sup>1)</sup>.

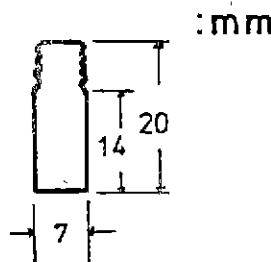


Fig. 1 Sectional view of metal specimen

용접은 회성금속에서 제조한 ASTM No. BAg-3의 경남용접제를 사용하여 용융접합 시켰다. 두께  $0.15\text{mm}$ 이고 너비가  $25\text{mm}$ 인 경남용접제 박판을 금속 시편의 밀연자름( $7\text{mm}$ )에 맞도록 원형으로 절단하여 금속과

metallizing한 alumina 소결체 사이에 넣고 수소분위기에서 용접하였다.

## 1.3 Metallizing 혼합물

alumina 소결체에 metallizing 시키는 재료는 Electronic Space Products, Inc.사 제품인  $-200\text{mesh}$ 의 molybdenum 분말과 Aremco사 제품인  $-325\text{mesh}$ 의 molybdenum 분말과 manganese 분말을 사용하였고 Mallinckrodt사 제품인  $\text{MnO}_2$ 와 Kanto Chemical Co.사 제품인  $\text{SiO}_2$ 를 첨가물로 사용하였다.

metallizing 혼합물은  $80\%$  Mo과  $20\%$  Mn를  $8\%$ 의 nitrocellulose laque(결합제)와 혼합시킨 다음 이 혼합물을 acetone과 amyacetate의 혼합용액에 넣고 alumina ball mill에서 24시간 동안  $60\text{r.p.m.}$ 의 속도로 ball mixing하였다. 이렇게 해서 얻은 세가지 혼합물의 조성비가 Table 3에 나타나 있다.

molybdenum이 경남 용접제와 잘 wetting이 되도록 nickel 피막을 metallizing된 피막위에 입히게 되는데 여기에 사용된 nickel 피막은 Teledyne사 제품인  $0.3\mu\text{m}$  분말을 위에 기술한 용액에 분산시켜서 사용하였다.

Table 3. The Chemical Composition of Metallizing Mixtures

Kind Comp.	Type 1	Type 2	Type 3
Mo (%)	80	72	75
Mn (%)	20	—	20
$\text{MnO}_2$ (%)	—	28	—
$\text{SiO}_2$ (%)	—	—	5

## 2. 실험방법

### 2.1 Metallizing, Nickel 피막 및 접경남용

alumina 소결체 위에 metallizing 혼합물을  $50\mu\text{m}$ 의 두께로 칠한 후 alumina 접시위에 얹어서 일정온도가 유지된 관상로 속으로 진입시켰다. alumina 소결체를 metallizing하기 위하여 상자형 전기로를 관상로로 개조하고 지름이  $2'\text{}$ 인 alumina tunnel관을 관상로 중앙부에 삽입한 다음, 그 입구를 단열 벽돌이 붙어 있는 고무마개로 막고 고무마개에 구멍을 내어 가스가 들어가고 나오게 만들었으며 열전대를 넣어 온도도 측정할 수 있도록 했다(Fig. 2).

관속의 공기를 제거하기 위해 먼저 질소를 흘려 보낸 다음, 관속의 공기가 다 제거되었음을 확인한 후 수소가스를 관속으로 서서히 흘려보냈다. 습한 수소분위기를 만들기 위해서 수소를, 온도가  $45^{\circ}\sim 50^{\circ}\text{C}$ 로 유지된 전조기(F) 속에 장치된 10m 길이의 등판(G)과

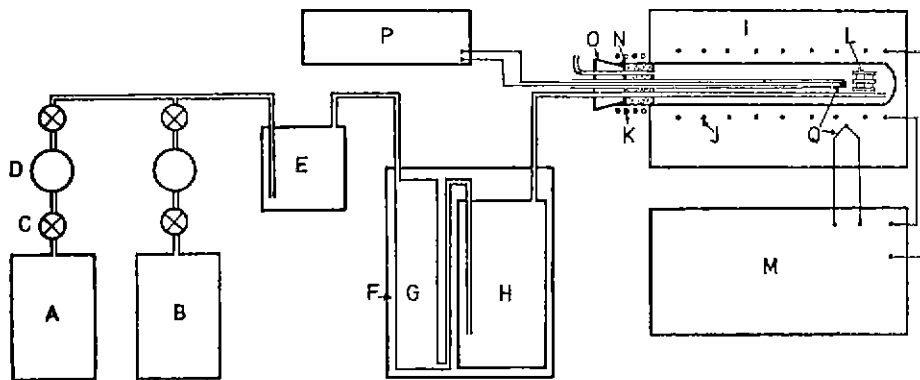


Fig. 2 Schematic diagram of the metallizing apparatus

A : H <sub>2</sub> gas cylinder	B : N <sub>2</sub> gas cylinder	C : Valve
D : Regulator	E : Flow rate measurement	F : Oven
G : Copper tubing	H : Pail	I : Furnace
J : Heating element	K : Cooling jacket	L : Sample tray
M : Controller and transformer	N : Insulating brick	O : Rubber lid
	P : Recorder	Q : Thermocouple

5'' × 8.5'' × 10'' 크기의 물통 (H) 속을 통과시킨 후 판속으로 흘러 보냈다. 이렇게 해서 나온 수소가스의 이슬점은 +17°C였다. 본 실험에서 사용한 가스는 모두 한국 알곤사에서 제조한 순도 99%의 가스였다.

관내를 습한 수소분위기로 유지 시키면서 전기로의 온도를 150°C/hr.의 가열 속도로 증온함과 동시에 관입구의 고무마개가 타지 않도록 구리판으로 된 냉각장치 (K)를 달고 물을 통과시켰다. 관안의 온도가 1450°C가 된 후 45분간 그 온도에서 유지시킨 다음 서서히 냉각시켰다. 관내의 온도는 Pt-10 Rd 열전대를 사용하여 측정하고 시간에 따른 온도변화는 기록계 (P)에 기록하였다. 냉각되는 동안에 산화가 되는것을 방지하기 위해서 수소분위기를 계속 유지시켰으며 관의 온도가 200°C가 된 후부터는 질소가스를 흘려보내 수소가스를 제거시켰다. 이와같이 하여 metallizing 시편 알루미나 시편위에 분산시킨 nickel 분말을 50μm 두께가 되도록 칠한 후, 별도의 관상로에서 200°C/hr.의 가열 속도로 가열하여 1000°C에서 30분간 유지한 다음 냉각시켰다.

이 경우에는 건조한 수소분위에서 소결되어야 하므로 수분을 제거하기 위해서 농황산과 건조제 (CaSO<sub>4</sub>)를 거친 수소를 사용하였다.

다음 지름이 7mm 정도의 경남용접제 박판을 nickel 피막이 입혀진 alumina 시편위에 얹고, 다시 그 위에 가

공한 구리시편을 얹은 후 뚜껑 (Fig. 3)을 씌워서, nickel 피막을 입힐 때 사용된 노의 관속에 진입시키고 nickel 피막을 입힐 때와 동일한 방법으로 수소를 통과시켜면서 200°C/hr.의 가열속도로 증온하여 800°C에서 10분간 유지한 다음 냉각하였다.

## 2.2 미세조직 검사

소결한 알루미나 시편의 파탄면을 replica로 만든 후 투과전자현미경으로 미세조직을 관찰한 후 사진을 찍었다.

alumina 소결체와 metallizing 된 금속층 사이의 결합상태를 관찰하기 위해 metallizing 한 alumina 소결체를 diamond 틈으로 결단한 다음, 베이크라이트에 포장하여 30μm, 15μm, 6μm 입자 크기의 diamond disc에서 순차적으로 연마한 다음 연마 마포위에서 1μm의 diamond paste를 사용하여 연마했다. 광학현미경으로 결합상태의 미세조직을 관찰하고 대표되는 부분을 사진으로 찍었다.

## 2.3 Instron에 의한 접합강도 측정

alumina 소결체와 metallizing 되어진 금속층 사이에 이루어진 접합강도를 알기 위해서 Fig. 4와 같이, Instron에 시편을 장치할 수 있는 부분물을 만들어 시편을 장치한 후 인장력을 가해서 접합강도를 측정하였다. Instron의 load cell로는 50kg cell을 사용하고 20mm/min의 chart speed 그리고 2mm/min의 cross head

speed 를 사용했으며 recorder 의 chart speed 는 20mm/min. 였다.

#### 2.4 X-선 회절분석

metallizing 하는 동안에 metallizing 금속층과 alumina 소결체 사이에 생성되는 반응물을 조사하기 위해서 10 g 의 alumina 분말에 8 g 의 molybdenum 분말과 2 g 의 manganese 분말을 혼합하여 24시간 동안 건조된 상태로 혼합한 후, metallizing 할 때와 같은 조건으로 반응 시킨 후 X-선 회절분석으로 반응물을 확인하였다. manganese 분말 대신에 MnO<sub>2</sub> 분말을 추가한 혼합물도

같은 방법으로 X-선 회절분석을 하였다.

### III. 결과 및 고찰

#### 1. alumina 소결체의 입도와 밀도 및 기공률

입도가 다른 순수한 alumina 분말과 소량의 SiO<sub>2</sub> 와 MgO 를 첨가한 alumina 분말을 안지름이 17.5mm, 높이가 4 mm 정도의 원판형으로 가압성형한 후, 1510°C에서 2시간동안 소결하여 얻은 소결체의 세밀도 및 기공율은 Table 4에 수록하였다.

시편 R99, L99 그리고 A99 등의 소지밀도를 비교해 보면 원료 분말의 입도 (Table 1)가 작을수록 소지밀도가 커짐을 볼 수 있는데, 이 결과는 분말입도의 영향인 것보다 분말입도의 분포와 입자 형태에 의한 영향으로 생각되어 진다. 각각 다른 회사에서 제조한 alumina 분말을 사용했기 때문에 분말 입도의 분포와 입자 형태가 서로 다르게 되고 이것이 가압성형시 소지밀도에 영향을 준 것으로 믿어진다.

이 현상은 소결에도 영향을 미치겠지만 위에서 고려되었으므로 소결시엔 입도의 차이만을 고려하였다. 분말의 입도에 따른 치밀화(densification)를 연구한 Coble<sup>7)</sup>의 연구 결과는 분말의 입도가 작을수록 치밀화가 잘 된다고 보고하고 있다 (Fig. 5).

따라서 분말입도가 가장 작은 시편 L99 가 가장 큰 부피밀도를 나타내야 하나 시편 R99 보다 적은 부피밀도를 나타내고 있다. 이 결과는 시편 L99 의 소지밀도가 적은 관계로 많은 기공을 가지게 되어 치밀화가 잘 이루어지지 않은 것으로 생각된다. 그리고 입도가 큰 시편 A99는 소지밀도 (71%)가 크나 적은 부피밀도 (86.9%)를 보여 주는 것으로 Coble의 결과에서 보고된 바와 같이 분말의 입도가 큰 까닭으로 생각된다.

부피밀도와 절밀도를 비교해 보면 시편 A99는 많은 차이를 나타내는데, 이 결과는 시편 A99 가 많은 기공을 가지고 있다는 것을 의미하며 치밀화가 잘 이루어지지 않았다는 사실과 일치하게 된다. 따라서 수축율 (4.5%) 이 적고 기공율 (12.9%) 이 커지게 되었다고 볼 수 있다. 그리고 시편 L99는 많은 수축율 (20.21%) 을 나타내고 있는데도 시편 R99 보다 적은 부피밀도를 나타내는 이유는 소지밀도 (47%) 가 적기 때문인 것으로 생각된다.

소결된 시편 R99, L99 및 A99 등의 전자현미경 조직 사진이 Fig. 6에 수록되어져 있으며, ASTM (Designation No. E112-74)에서 정한 lineal intercept method 를 사용하여 측정한 평균입자 크기는 시편 R99 가 3.5 μm, L99 가 4.0 μm 이고 A99 가 3.5 μm 였다. 이 결과

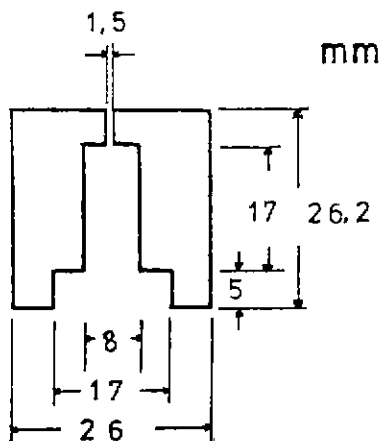


Fig. 3 Sectional view of cap for brazing

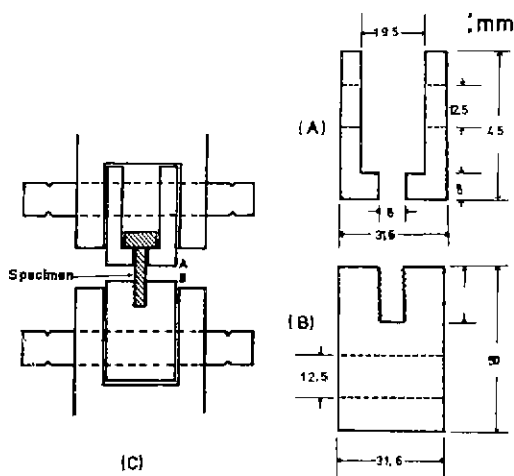


Fig. 4 Sectional view of attachments for tensile test  
(A) Upper attachment  
(B) Lower attachment

(C) Assembled view of attachments

Table 4 Various Densities and Porosity of Sintered Alumina Ceramics\*

Alumina bodies		R 99		L 99		A 99		L 95 S		L 95 MS	
Densities and porosity		Specimen	Average	Specimen	Average	Specimen	Average	Specimen	Average	Specimen	Average
Before sintering	Green density ( $\text{g}/\text{cm}^3$ )	2.491 2.532 2.523	2.515 (62%) 2.059	2.049 (47%)	2.062	2.851 2.883 2.872	2.869 (71%)	1.802 (46.2%)	1.802	1.912 1.911 1.901	1.908 (48.6%)
	Bulk density ( $\text{g}/\text{cm}^3$ )	3.896 3.871 3.881	3.882 (97.4%) 3.702	3.659 3.672 3.702	3.678	3.447 3.492 3.451	3.463 (86.9%)	3.193 (81.8%)	3.193	3.252 3.236 3.217	3.235 (82.4%)
	Apparent density ( $\text{g}/\text{cm}^3$ )	3.966 3.930 3.918	3.938 (98.8%) 3.944	3.928 (98.7%)	3.936	3.968 3.979 3.968	3.971 (99.6%)	3.227 (82.7%)	3.227	3.601 3.492 3.591	3.561 (90.7%)
After sintering	Apparent porosity (%)	1.75 2.01 1.84	1.87	7.05 6.98 6.89	6.97	13.2 12.9 12.7	12.9	11.6	11.6	9.70 9.88 10.8	10.12
	Shrinkage (%)		13.7		20.21		4.5		18.5		22.5

\* Numbers in parenthesis are the percent of theoretical density.

The true density used for calculation of  $\text{Al}_2\text{O}_3$ ,  $\text{Al}_2\text{O}_3-\text{SiO}_2$ , and  $\text{Al}_2\text{O}_3-\text{SiO}_2-\text{MgO}$  are 3.903, 3.903, and 3.928 respectively.

는 세 소결체의 입도가 거의 비슷하고 A99의 입도가 원료 분말입도 ( $3.5 \mu\text{m}$ )에 비해서 거의 성장되지 않았음을 보여주고 있다. 이 현미경 조직 사진에서도 시편 A99는 많은 기공을 포함하고 있음을 보여주고 있다.

$\text{MgO}$ 와  $\text{SiO}_2$ 를 소량 첨가한 시편 L95S와 L95MS는 소지밀도가 46–98%로 이론밀도의 약 82–90%의

절밀도를 보여주고 있으며 특히 18–20%의 수축율을 나타내고 있다. 이렇게 낮은 절밀도를 보여주는 것은  $\text{SiO}_2$ 의 침가가 소결시 알루미나 입자 표면에 mullite를 형성하여 소결을 저연시키거나 또는 유리질의 형성으로 급격한 수축으로 말미암아 많은 기공이 간혀지게 됨으로 인한 것으로 밀어진다.

## 2. 접합기구

초고순도 alumina 소결체 (99.5%)의 접합은 metalliz-

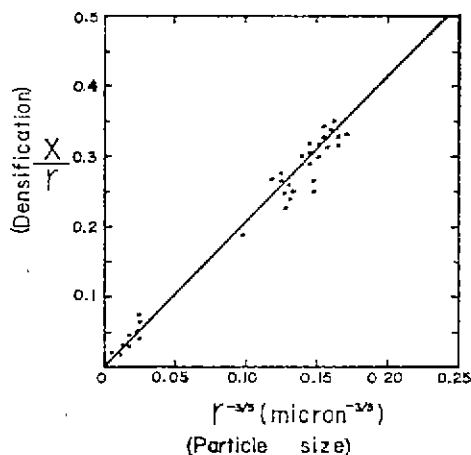
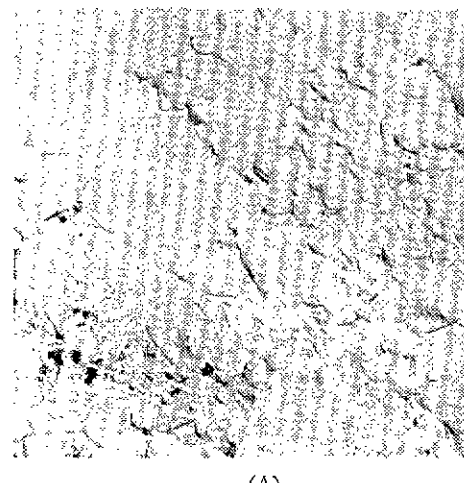


Fig. 5 Effect of particle size on the contact area growth in  $\text{Al}_2\text{O}_3$  heated 100hr. at  $1600^\circ\text{C}$  (7.)



(A)

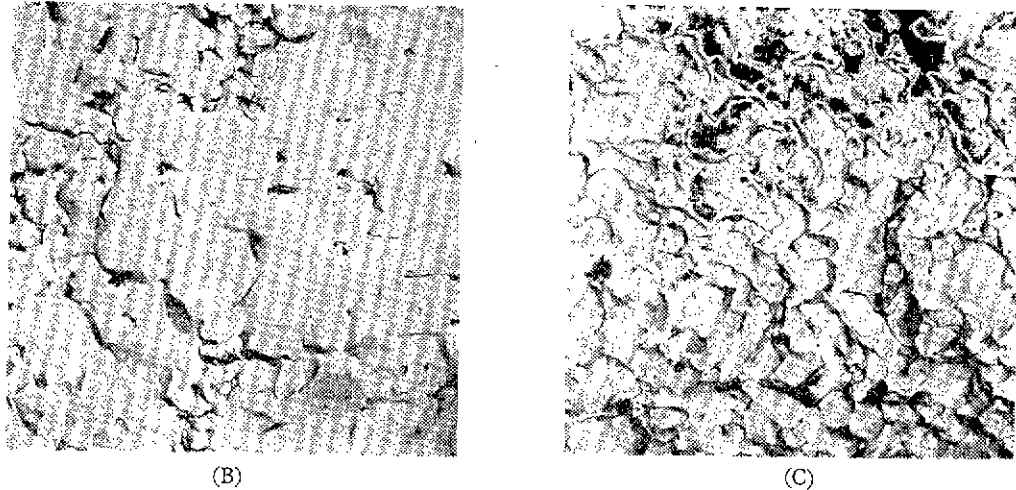


Fig. 6 Transmission electron fractograph of sintered alumina ceramic ( $\times 2000$ )  
 (A) R99 alumina  
 (B) L99 alumina  
 (C) A99 alumina

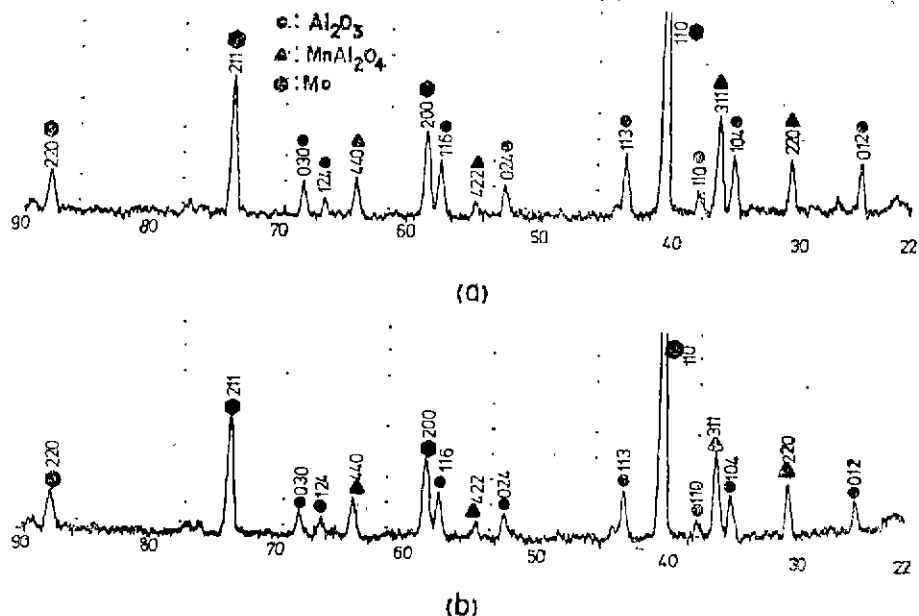


Fig. 7 X-ray diffraction of (a)  $\text{Al}_2\text{O}_3$ -Mo-Mn, (b)  $\text{Al}_2\text{O}_3$ -Mo-MnO<sub>2</sub> mixture

ing 층과 alumina 소결체 사이의 반응에만 의해서 일어나게 되므로, 유리질의 도움에 의해서 접합이 이루어지는 고순도 alumina 소결체 (95%)의 접합보다 일반적으로 약하다. 따라서 초고순도 alumina 소결체와 고순도 alumina 소결체의 접합강도와 접합기구는 서로 다른 것으로 생각되므로 서로 분리해서 접합기구를 고찰해야만 한다.

metallizing 층과 alumina 소결체 사이의 반응에 의해서 생성되는 반응물이 접합에 중요한 영향을 미치게 될 것으로 생각되므로 이 반응물을 확인하는 것이 필요하다. metallizing 혼합물의 금속 분말들과 alumina 분말을 혼합한 다음,  $1450^\circ\text{C}$ 의 습한 수소분위기(이슬점,  $+17^\circ\text{C}$ )에서 반응시켜 X-선 회절분석을 해 본 결과(Fig. 7)는 metallizing 혼합물 속의 manganese 와 man-

ganese dioxide가 모두 manganese aluminate spinel ( $MnAl_2O_4$ )을 형성하고 있음과  $MnAl_2O_4$  이외에 다른 반응물은 생성되지 않은 것을 보여주고 있다. 물론 분말과 분말 사이의 반응과 분말과 소결체 소지 사이의 반응정도에서 차이가 생기겠지만 생성물의 종류에서 차이가 없을 것으로 믿어진다. 열역학적으로 생각하면 위의 조건에서 manganese나 manganese dioxide는 manganese oxide로 변하게 된다<sup>8)</sup>. 따라서 manganese와 manganese dioxide가 manganese oxide로 변한 후 alumina와 반응하여 manganese aluminate spinel을 형성하게 되고 이 반응은 금속과 alumina 소결체의 접합에 주 역할을 하게 된다.

초고순도 알루미나 소결체에 대한 접합강도의 결기공율과의 관계는 Fig. 8에 도시되어져 있다. 결기공율이 적은 소결체가 적은 접합강도를 나타내고 결기공율이 많은 소결체가 큰 접합강도를 나타내고 있다. 이와같은 결과는 metallizing 중의 금속이 알루미나 소결체 속으로 깊게 침투하였다는 것과 많은 반응생성물이 생겼다는 것을 의미한다. 따라서 초고순도 알루미나 소결체의 접합기구는 manganese oxide가 alumina 소결체 속으로 침투하여 manganese aluminate spinel을 형성시키고, 이 manganese aluminate spinel이 접합을 이루게 하는 것으로 생각된다.

또한 Fig. 8에서 metallizing 혼합물의 성분에 따라 접합강도의 차이를 보이고 있으며, Mo-Mn 혼합물의 경우가 가장 높은 접합강도를 보여주고 있다. 이와같은 결과는 Mo-MnO<sub>2</sub> 혼합물인 경우에 MnO가 형성되는 양이 Mo-Mn 혼합물을 사용했을 경우보다 적게 생성되므로 해서 강도가 낮아진 것으로 생각되며, Mo-Mn-SiO<sub>2</sub> 혼합물일 경우에 SiO<sub>2</sub>의 침가로 MnSiO<sub>3</sub>가 생겨서 접합을 약하게 했기 때문으로 믿어진다.

Fig. 9(A)는 metallizing 금속층과 alumina 소결체 사이의 미세조직을 보여주는 사진으로  $MnAl_2O_4$ 의 증간층이 거의 생기지 않았음을 보여주고 있다. 따라서  $MnAl_2O_4$ 는 경계면에서 alumina 소결체의 내부에 침투되어진 것으로 생각된다. 그리고 metallizing 금속층의 금속분말들은 완전히 소결되지 않은 상태로 많은 기공을 가지고 있는 것을 보여주고 있다.

다른 연구가들의 연구결과 보다 낮은 접합강도를 보이는 결과는 금속분밀의 입도가 커서, Fig. 9(A)에서 볼 수 있는 바와같이 metallizing 금속층이 완전히 소결이 이루어지지 않았을 뿐더러 알루미나 소결체 속으로 깊게 침투할 수 없었기 때문인 것으로 짐작된다. 따라서 금속분밀의 입도가 작은 것을 사용하거나 높은 온

도에서 metallizing 하여야 접합강도를 증가시킬 수 있을 것으로 믿어진다.

시편 L95MS와 L95S alumina 소결체를 metallizing 했을 때의 접합강도는 Table 5에 수록되어져 있는데, 접합강도가 서로 상당한 차이를 보이고 있다. 이 사실은 먼저 언급한 바와같이 alumina 소결체 속에 있는 유리질의 존재 유무에 따라 일어난 현상으로 생각되어

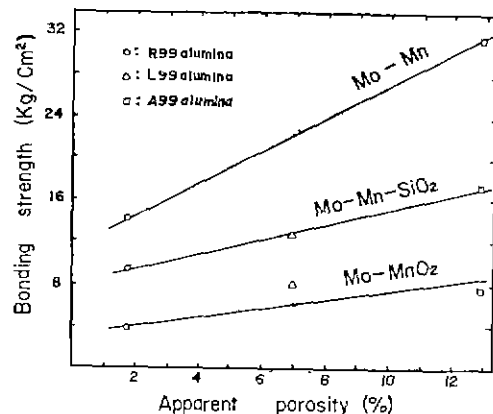
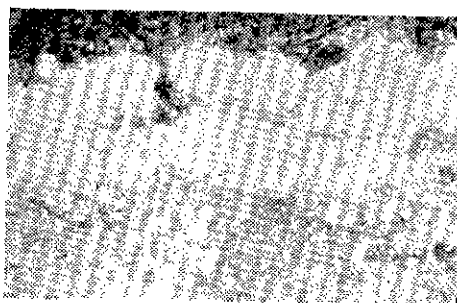


Fig. 8 Apparent porosity vs. bonding strength



(A)



(B)

Fig. 9 Interface between metallized layer and ceramic body ( $\times 350$ ):

(A) A99 alumina body

(B) L95MS alumina body

진다. 만약에 접합기구가 알루미나 반응에 의한 접합기구라면 유리질이 없는 L95S나 유리질이 있는 L95MS가 서로 비슷한 접합강도를 나타내야 하겠지만, 그렇지 못하고 서로 차이를 나타내므로 유리질을 포함한 고순도 알루미나 소결체의 접합기구는 “유리질 이동에 의한 접합기구”라고 생각된다.

Table 5. Bonding Strength of Alumina Ceramics

Metallizing mixture	Alumina bodies	
	L95S	L95MS
Mo-Mn	(kg/cm <sup>2</sup> )	8.98
Mo-MnO <sub>2</sub>	(kg/cm <sup>2</sup> )	1.63
Mo-Mn-SiO <sub>2</sub>	(kg/cm <sup>2</sup> )	4.08
		21.43
		30.82
		10.20

시편 L95MS에 있어서 Mo-MnO<sub>2</sub> metallizing 혼합물을 사용한 시편이 강한 접합강도를 보여주고 있는데 이것은 먼저 인급된 바와 같이 Mo-MnO<sub>2</sub> 혼합물에서 생기는 MnO의 양의 적고 따라서 MnAl<sub>2</sub>O<sub>4</sub>의 형성보다는 유리질의 형성으로 말미암아 더 쉽게 이 유리질이 metallizing 층으로 이동하게 됨으로써 이루어졌다고 생각된다. 따라서 Mn의 첨가가 유리질을 포함한 alumina 소결체의 metallizing에는 별로 도움을 주지 못한다고 생각된다. 그리고 Mo-Mn-SiO<sub>2</sub>의 metallizing 혼합물을 사용했을 때는 metallizing 과정에서 MnSiO<sub>3</sub>가 형성되어 유리질의 점도를 증가 시킴으로써 유리질이 이동을 저해하는 까닭에 접합강도가 떨어졌다고 볼 수 있다.

Twentyman<sup>9)</sup>이 주장한 “유리질 이동에 의한 접합기구”에 따르면, 유리질이 모세관 현상에 의해서 alumina 소결체로부터 metallizing 층으로 이동한다고 설명하고 있다.

Fig. 9(B)에서 L95MS 시편의 metallizing 경계면 사진을 보면은 금속층과 alumina 소결체의 경계면에 또 다른 층이 생겼음을 볼 수 있다. 이 층은 MnAl<sub>2</sub>O<sub>4</sub>가 생긴 층에 유리질이 이동하여서 생긴 층으로 생각되며 금속으로 유리질이 이동되는 혼적을 볼 수 있다.

## V. 결 론

- 초고순도 (99.5%) alumina 소결체를 metallizing 했을 때의 접합 강도는 alumina 소결체의 기공율이 증가함에 따라 증가하며 이때의 접합기구는 metallizing

과정에서 생성되는 MnAl<sub>2</sub>O<sub>4</sub>에 의해서 이루어지게 되는 것으로 믿어지며 반면 유리질을 함유하고 있는 소결체에서는 MnAl<sub>2</sub>O의 형성에 의한 접합보다는 alumina 소결체 속의 유리질이 metallizing 층으로 이동하여 이루어지는 접합이라고 생각된다.

2. 초고순도 alumina 소결체에서는 metallizing 혼합물의 성분이 Mo-Mn인 경우 가장 높은 접합강도를 나타내었고 유리질이 들어있는 소결체에서는 Mo-MnO<sub>2</sub> metallizing 혼합물을 사용한 시편이 접합강도가 가장 높았다.

3. 본 연구에서는 metallizing 혼합물의 금속분말을 가능한 미세하게 하여 metallizing 금속층의 기공을 작게 만드므로서 접합강도를 증가시킬 수 있다고 생각된다.

## REFERENCES

- H. E. Pattee, R. M. Evans, R. E. Monroe, "Joining Ceramics and Graphite to Other Materials," N ASA Report, SP-5052, (1968)
- L. Navias, "Advances in Ceramics Related to Electronic Tube Developments", *J. Amer. Cer. Soc.*, 37 (8), p. 329-350, (1954)
- H. Bender, "New Developments in Metal-Ceramic Seals", *The Salvania Technologist*, 8 (1), p. 22-23, (1955)
- L. J. Cronin, "Trends in Design of Ceramic-to-Metal Seals for Magnetrons", *Cer. Bull.*, 35 (3), p. 113-116, (1956)
- H. Palmour III, "Review of High Temperature Metal-Ceramic Seals", *J. Electrochemical Soc.*, 102 (7), p. 160-164 (1955)
- H. Pulfrich, "Ceramic-to-Metal Seals", U.S. Patent, 2 163 407, (1939)
- R. L. Coble, "Initial Sintering of Alumina and Hematite", *J. Amer. Cer. Soc.*, 41 (51), (1958)
- 김형준, "A Study of Metal-to-Ceramic Bonding," M.S. Thesis, KAIS, Seoul, (1978)
- M. E. Twentyman, "High-Temperature Metallizing, Part 2", *J. Mat. Sci.*, 10, 765-776, (1975)